

MIT-0214

1/28

FIG. 1

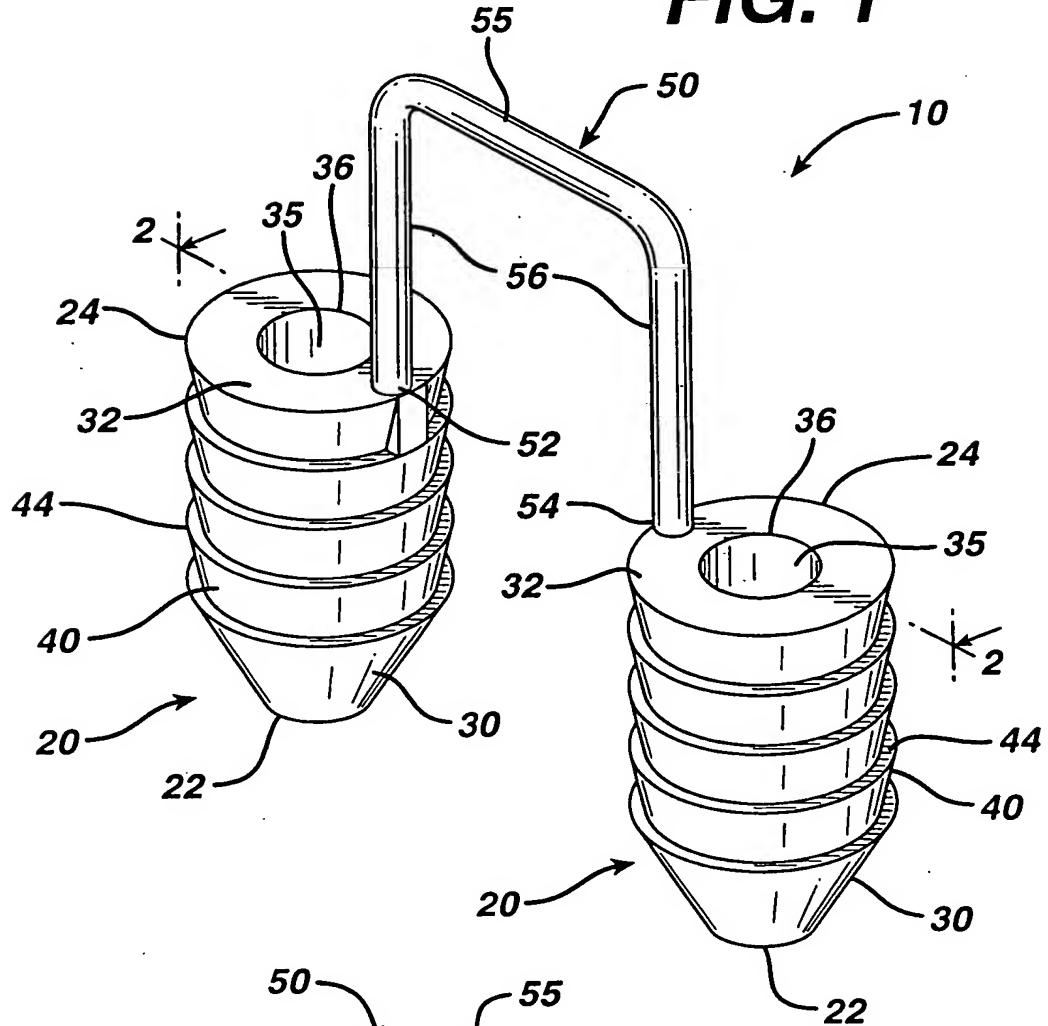
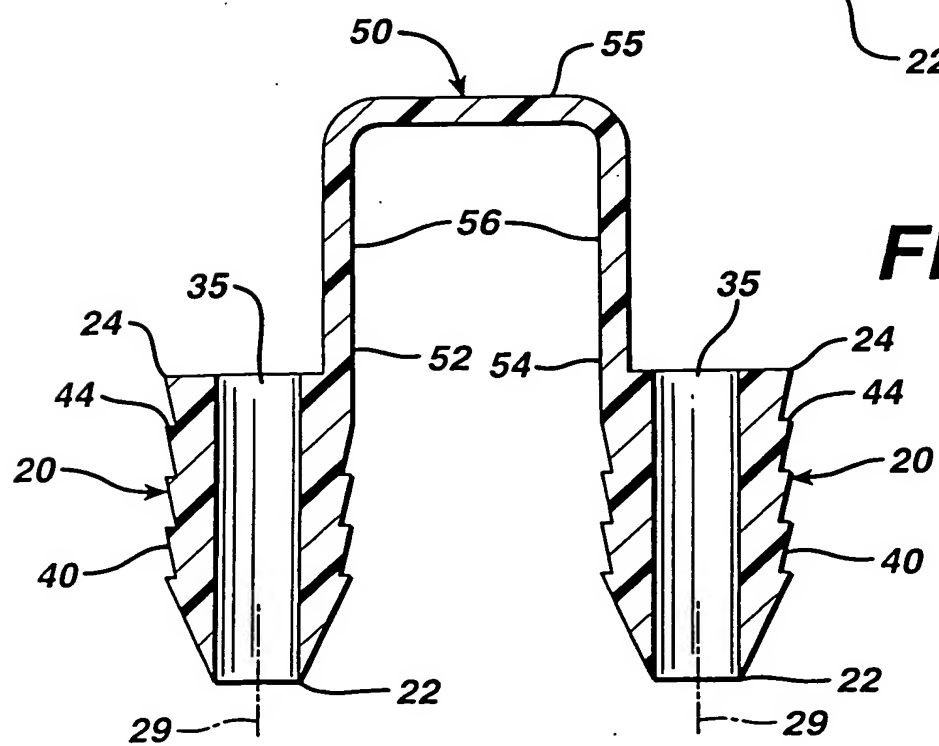
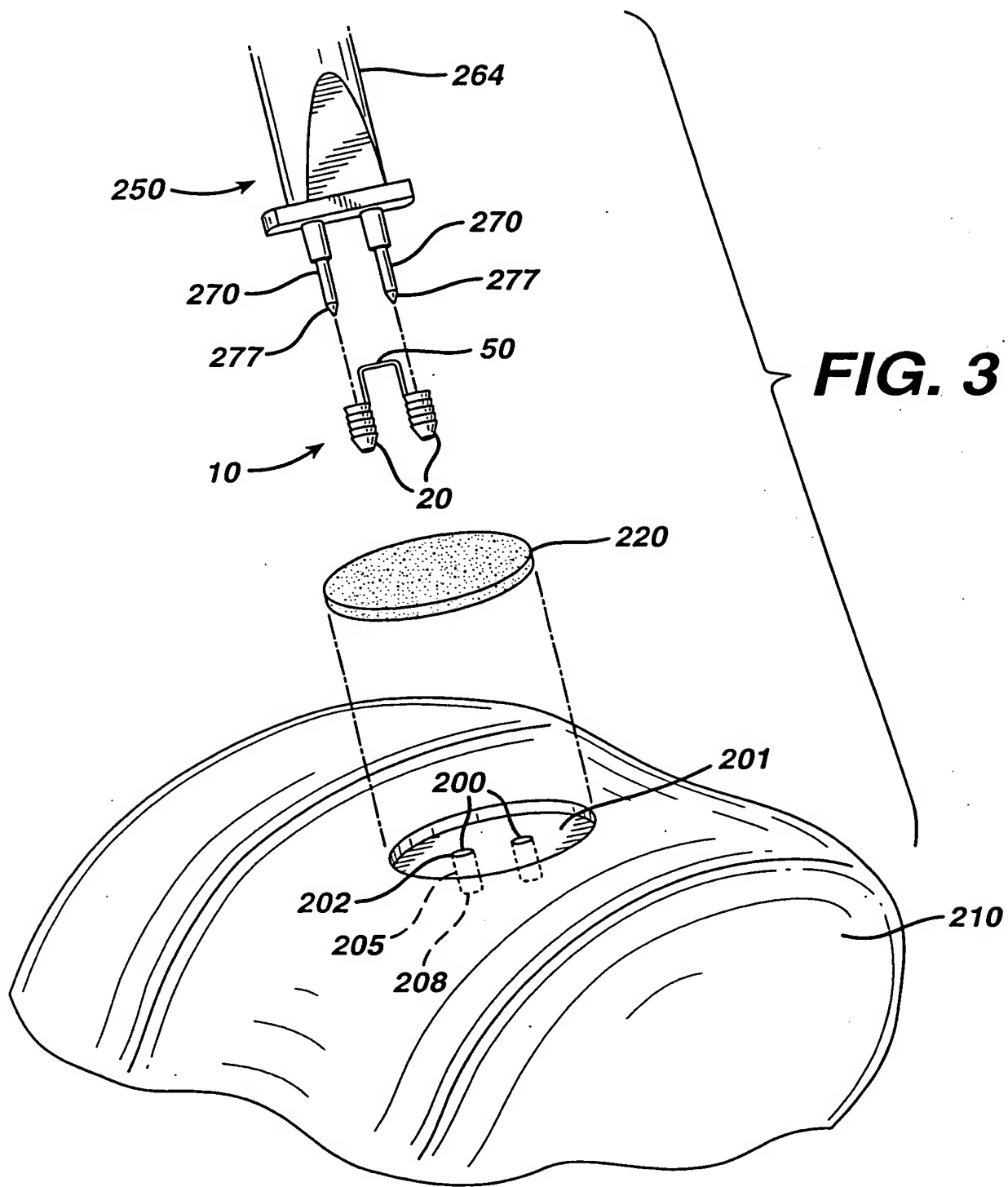
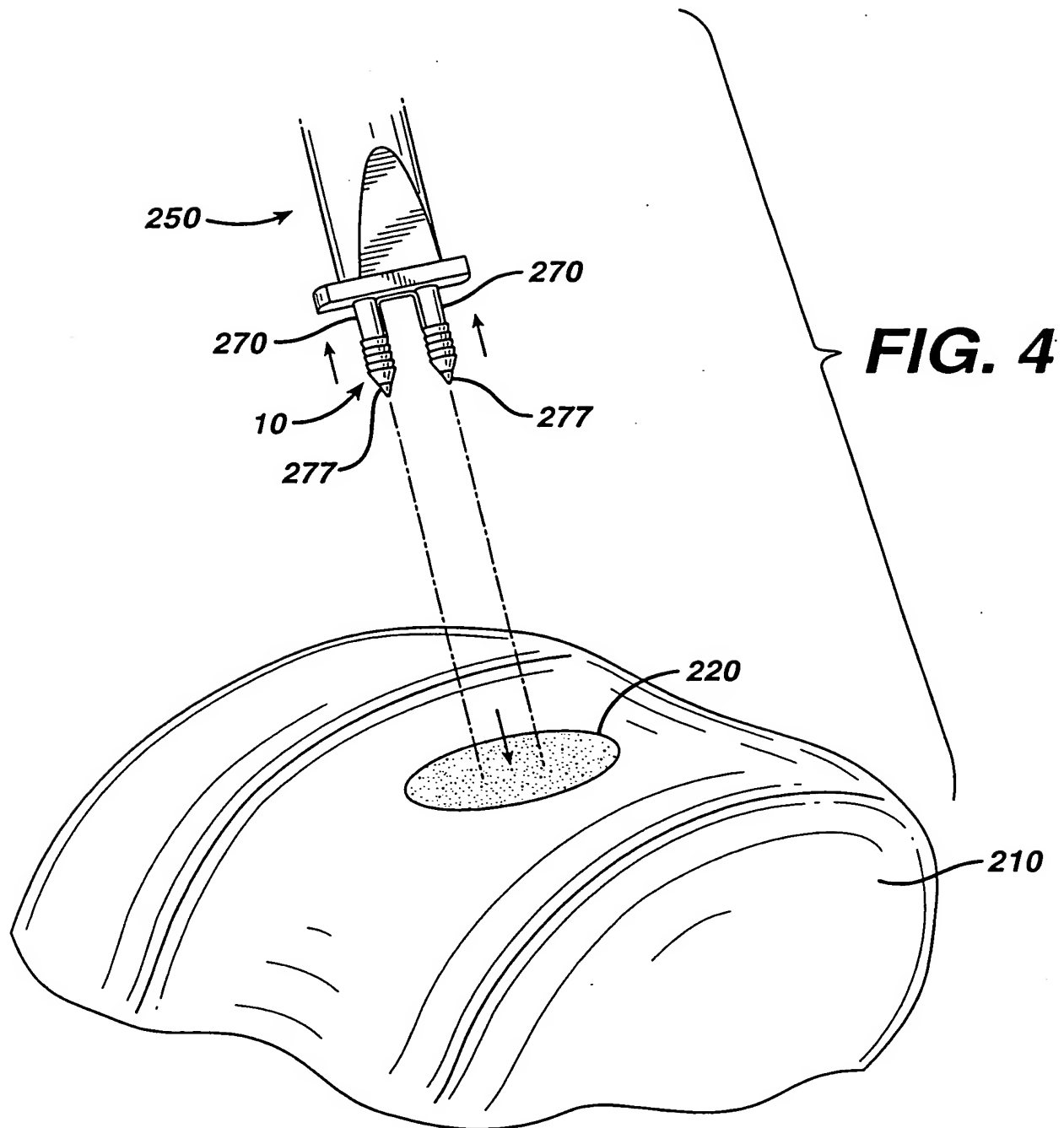


FIG. 2







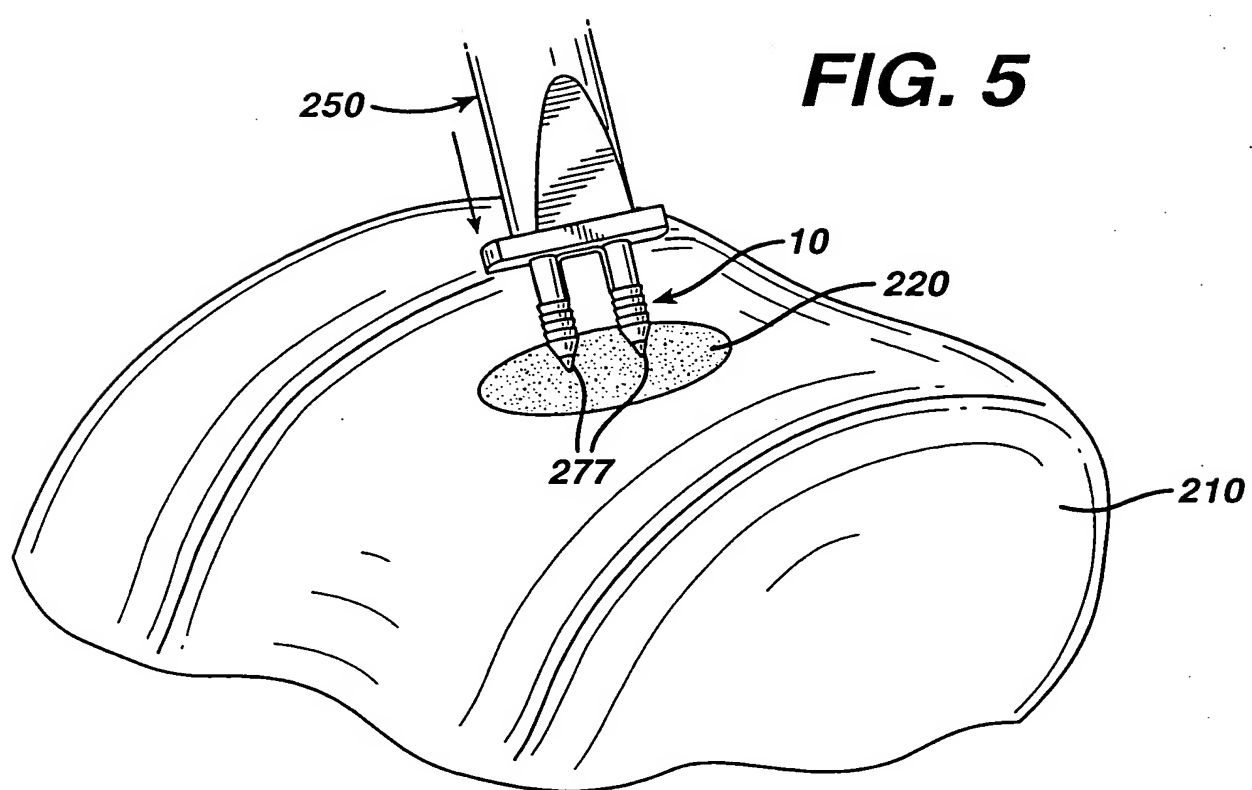
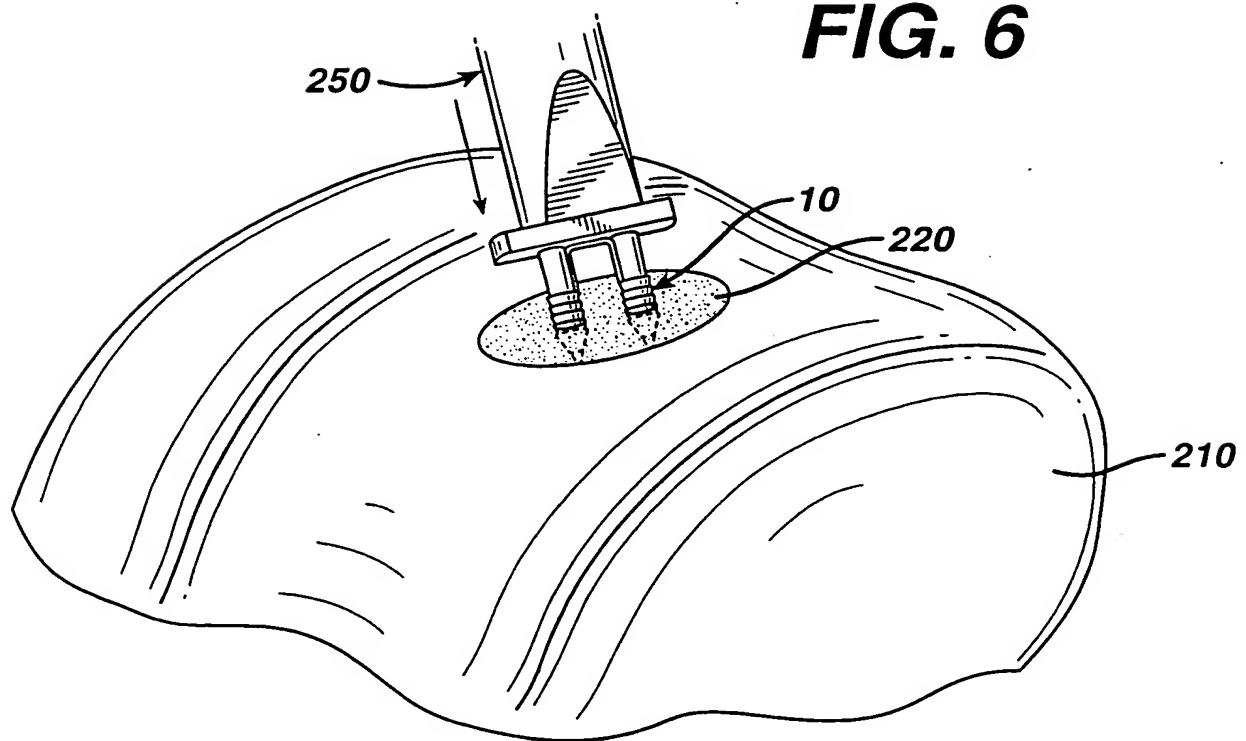


FIG. 6



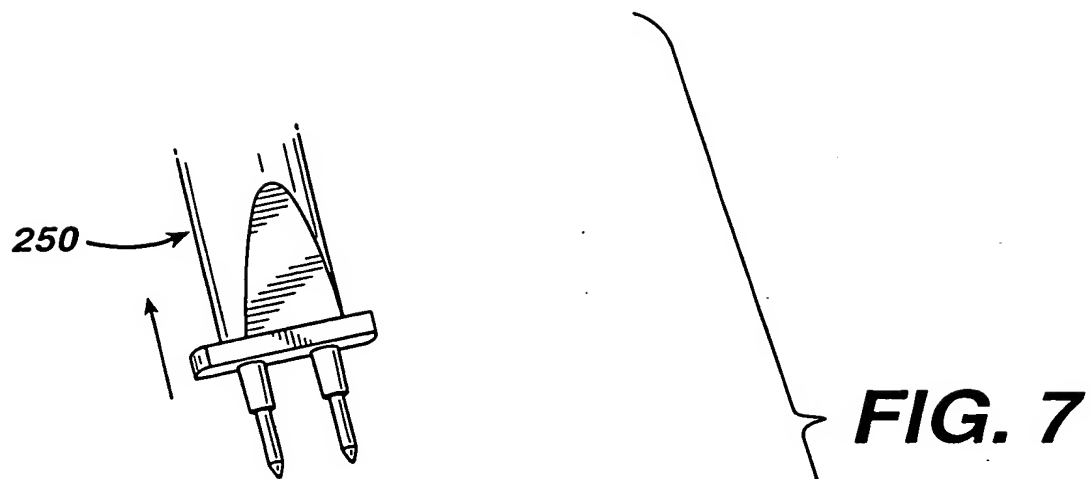


FIG. 7

7/28

FIG. 8

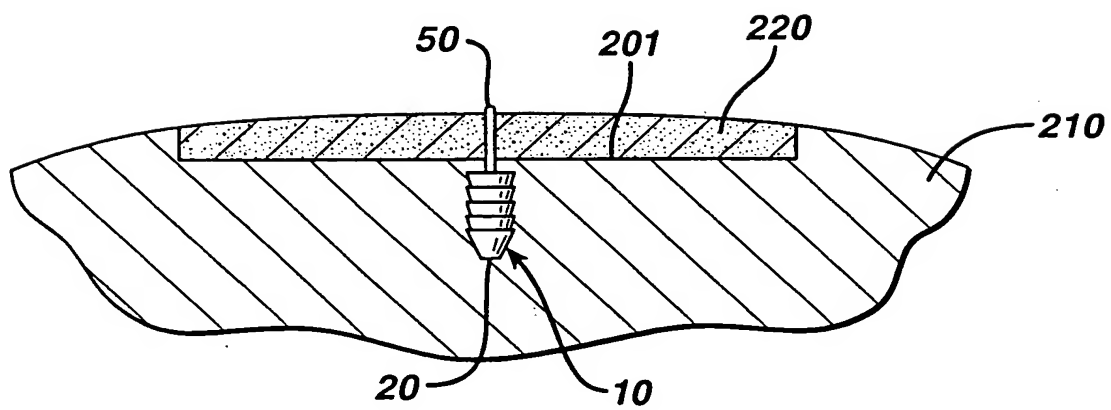
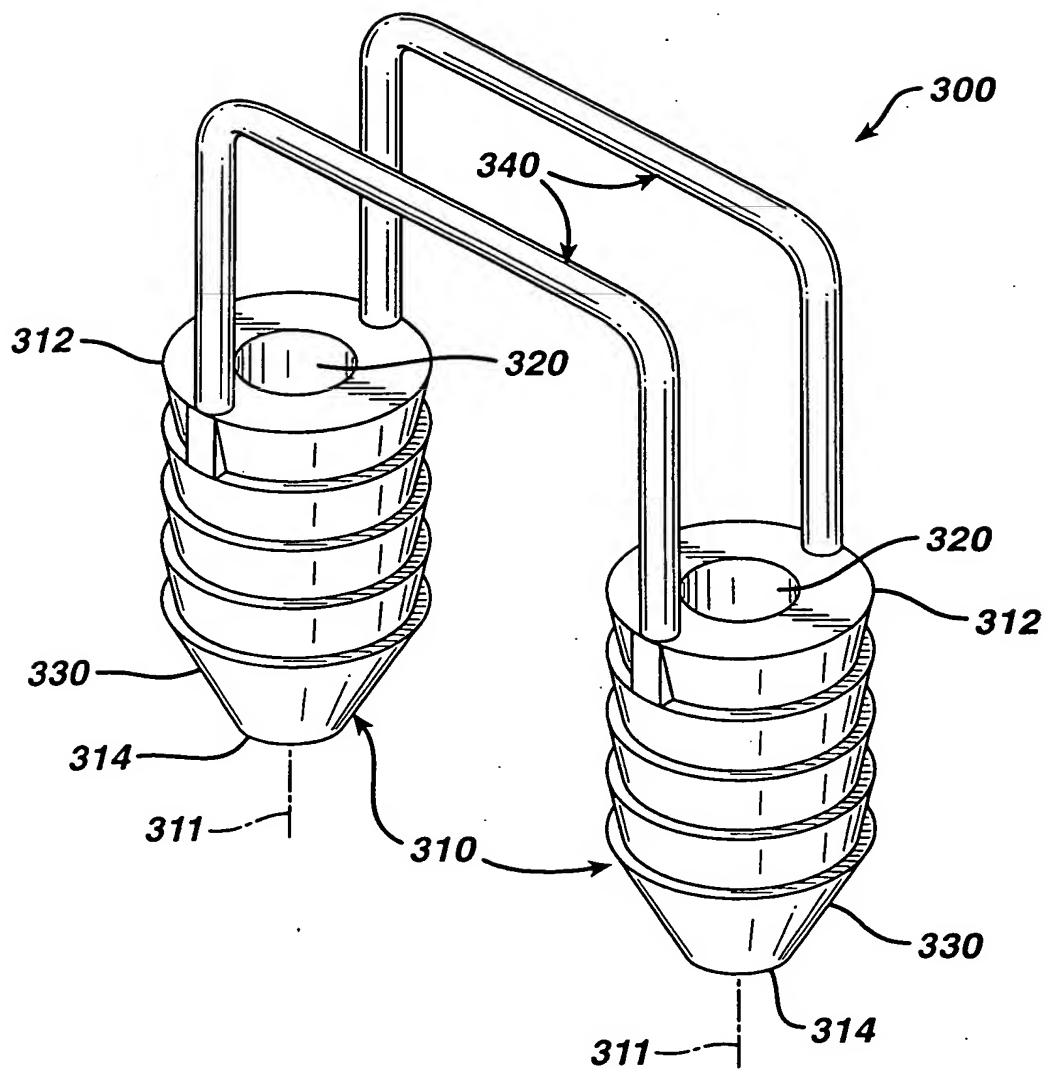
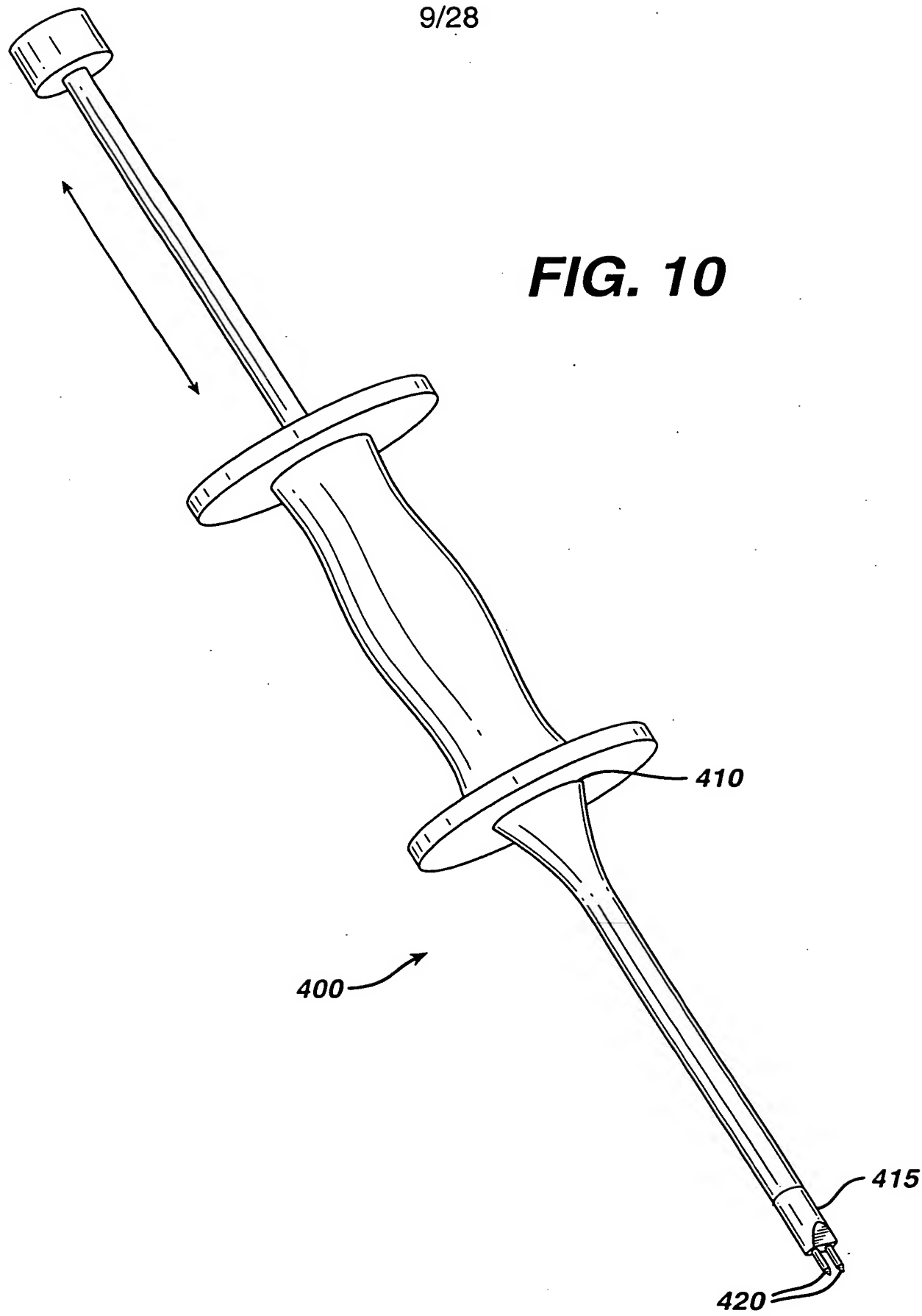


FIG. 9

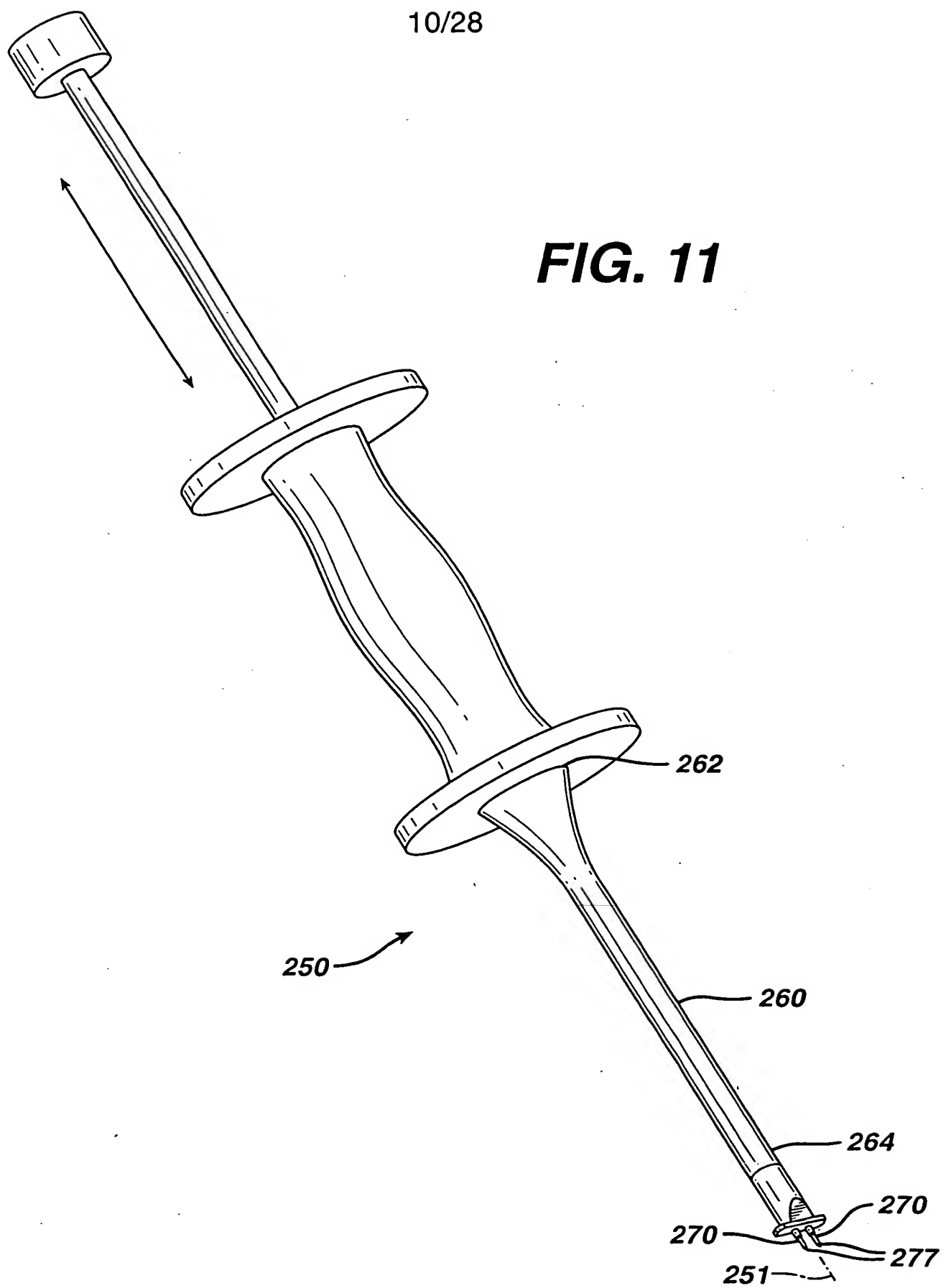
9/28

FIG. 10



10/28

FIG. 11



11/28

FIG. 12

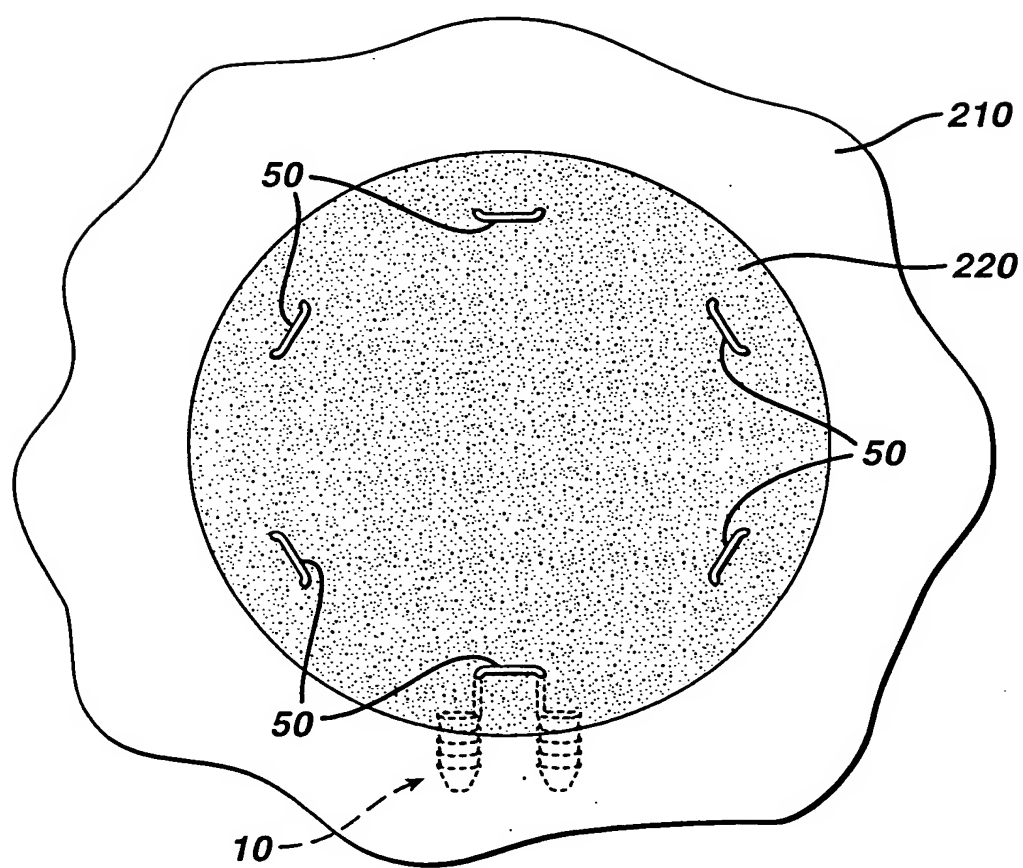


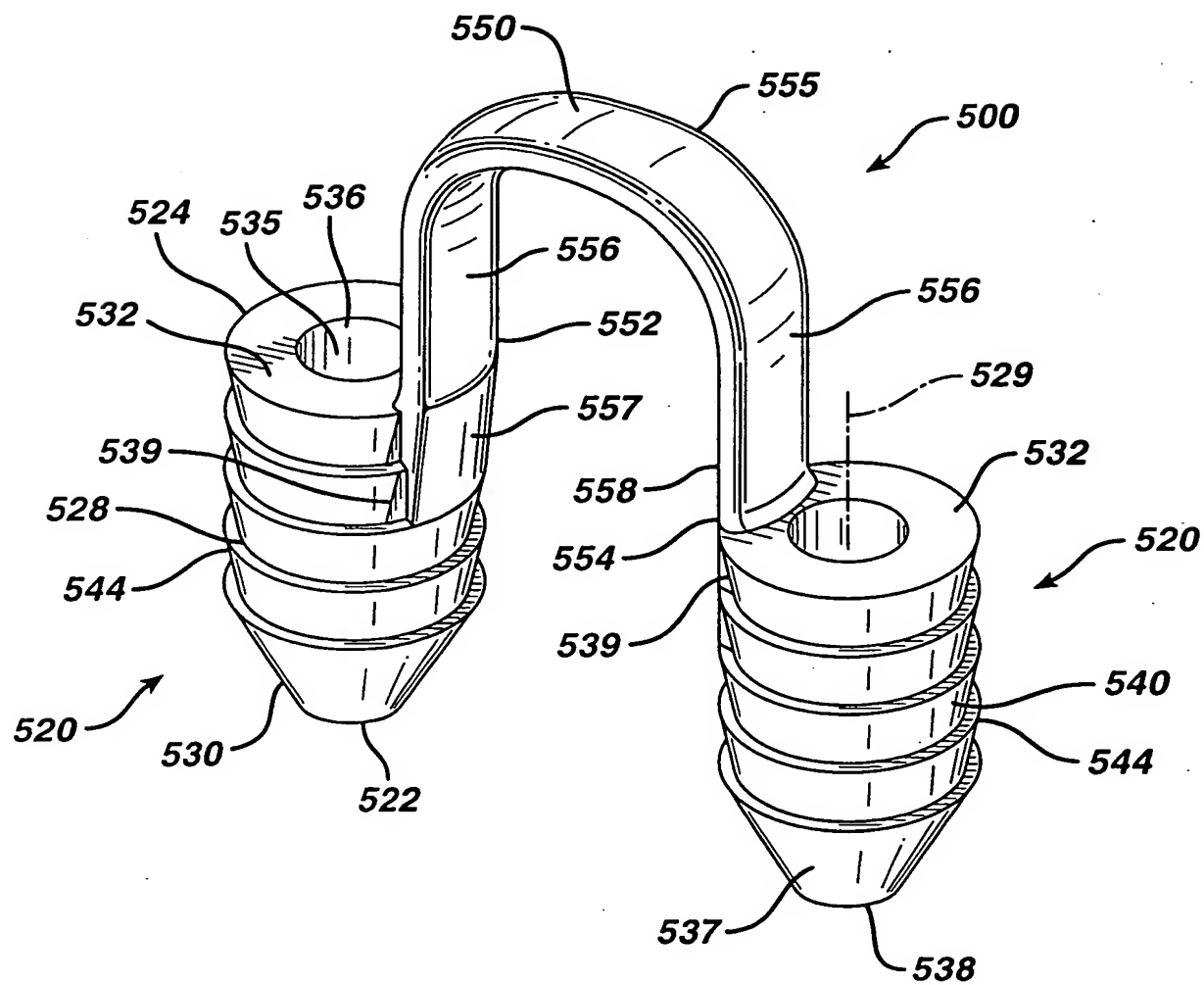
FIG. 13

FIG. 14

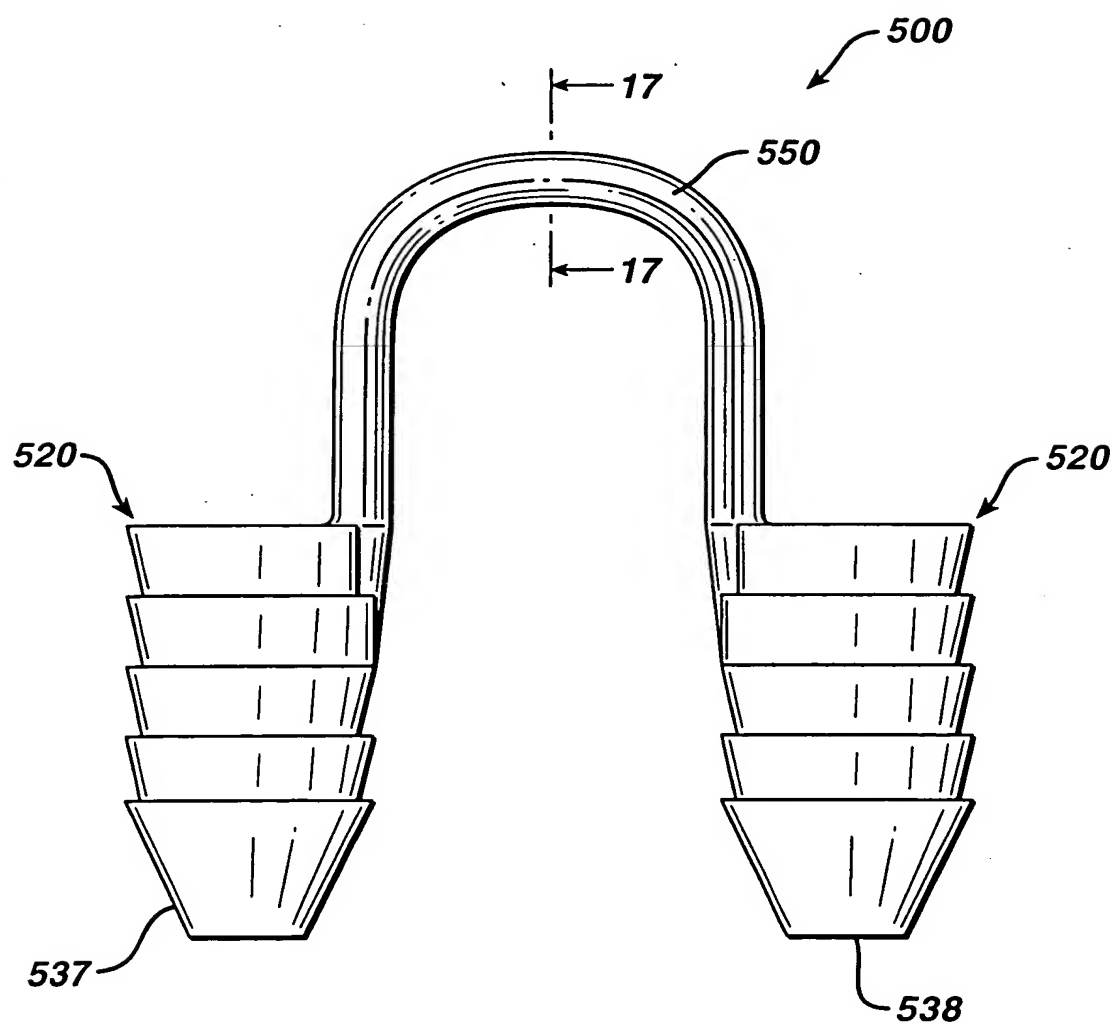


FIG. 15

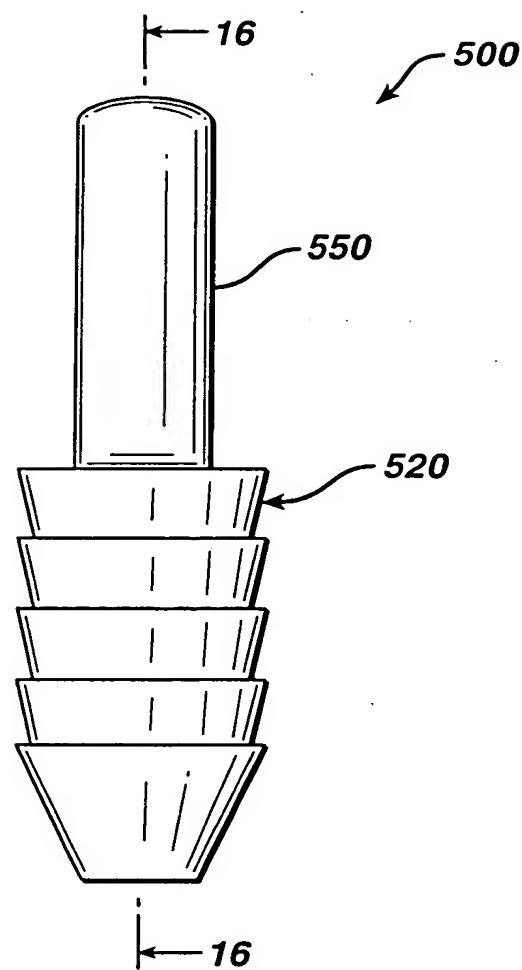


FIG. 16

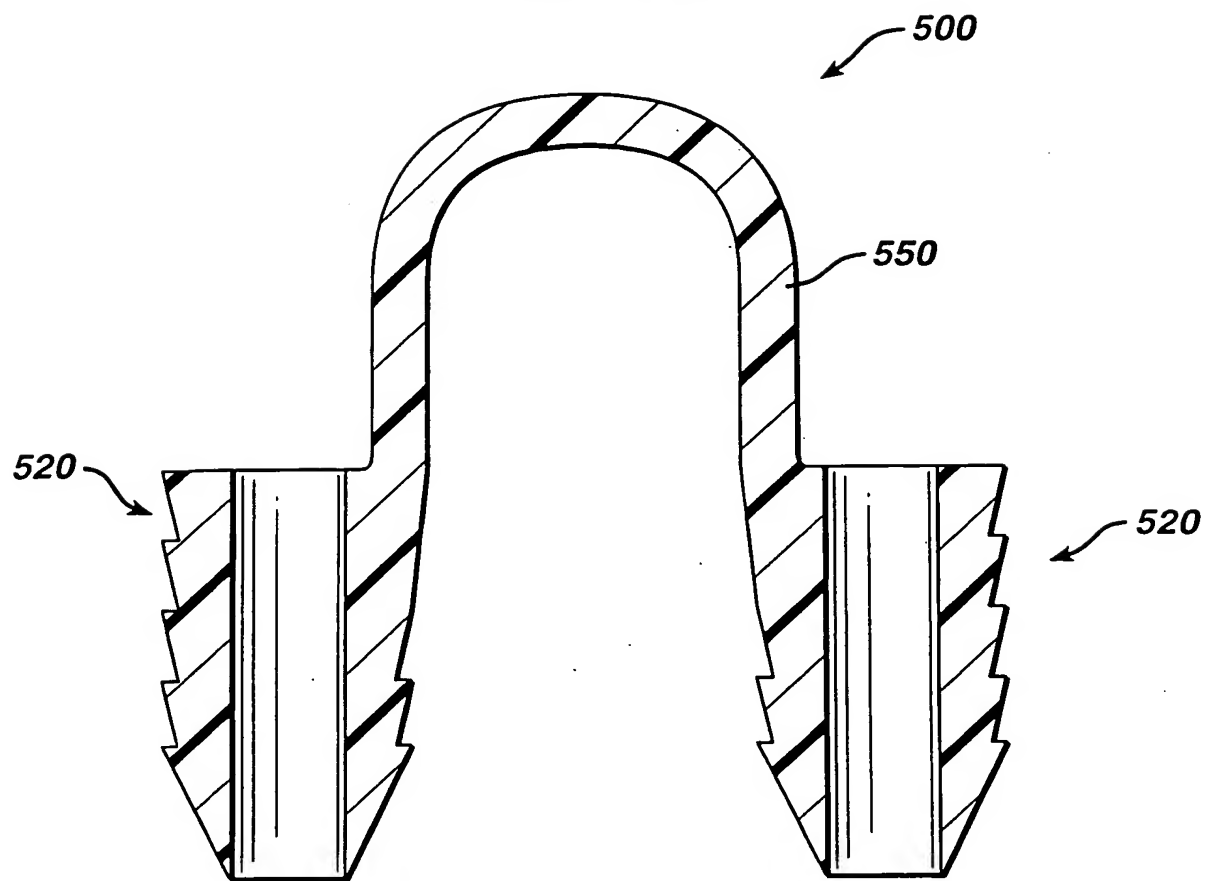


FIG. 17

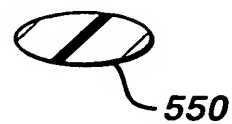


FIG. 18

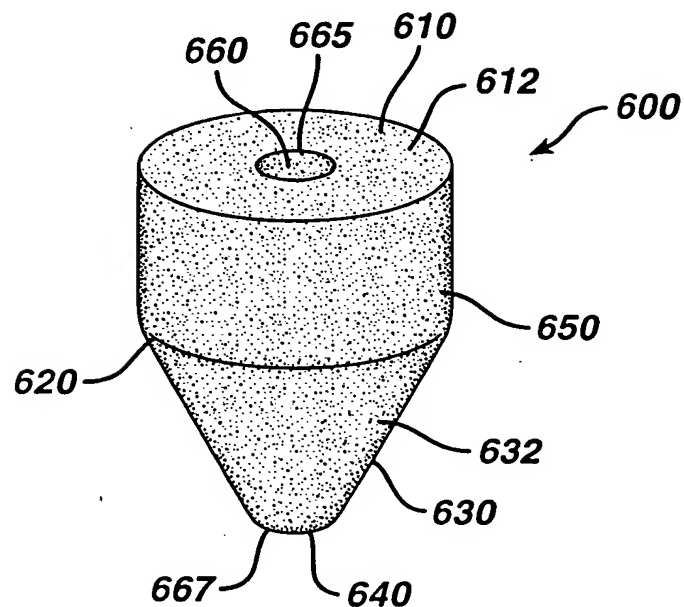


FIG. 19

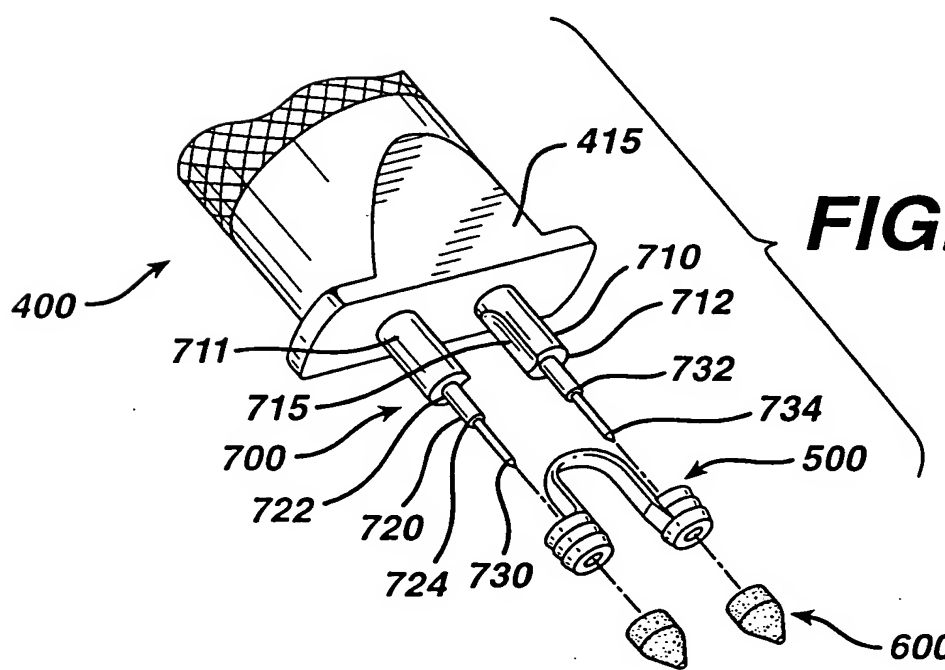


FIG. 20

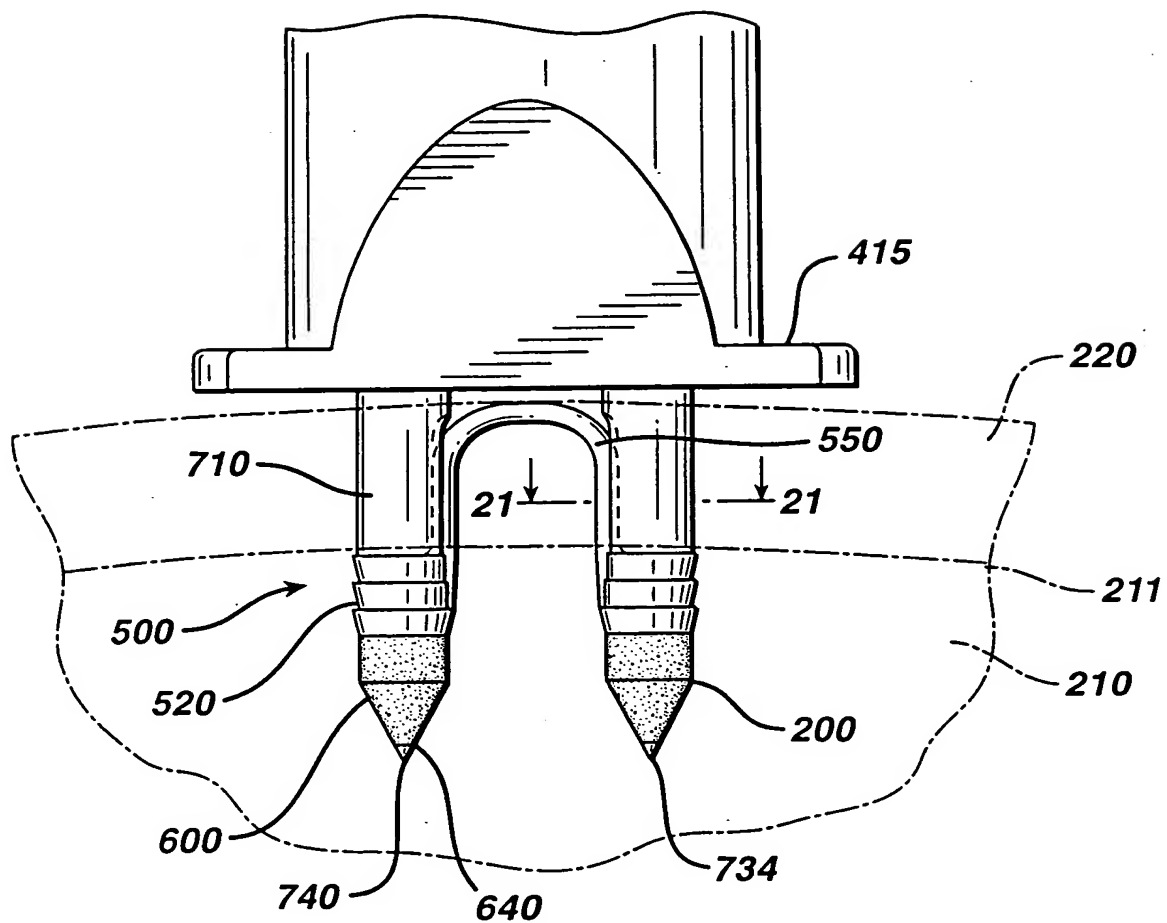
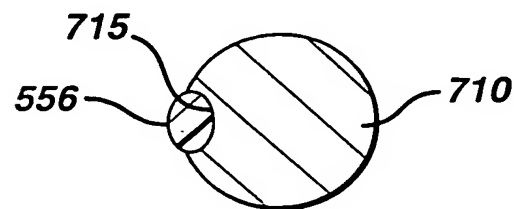


FIG. 21



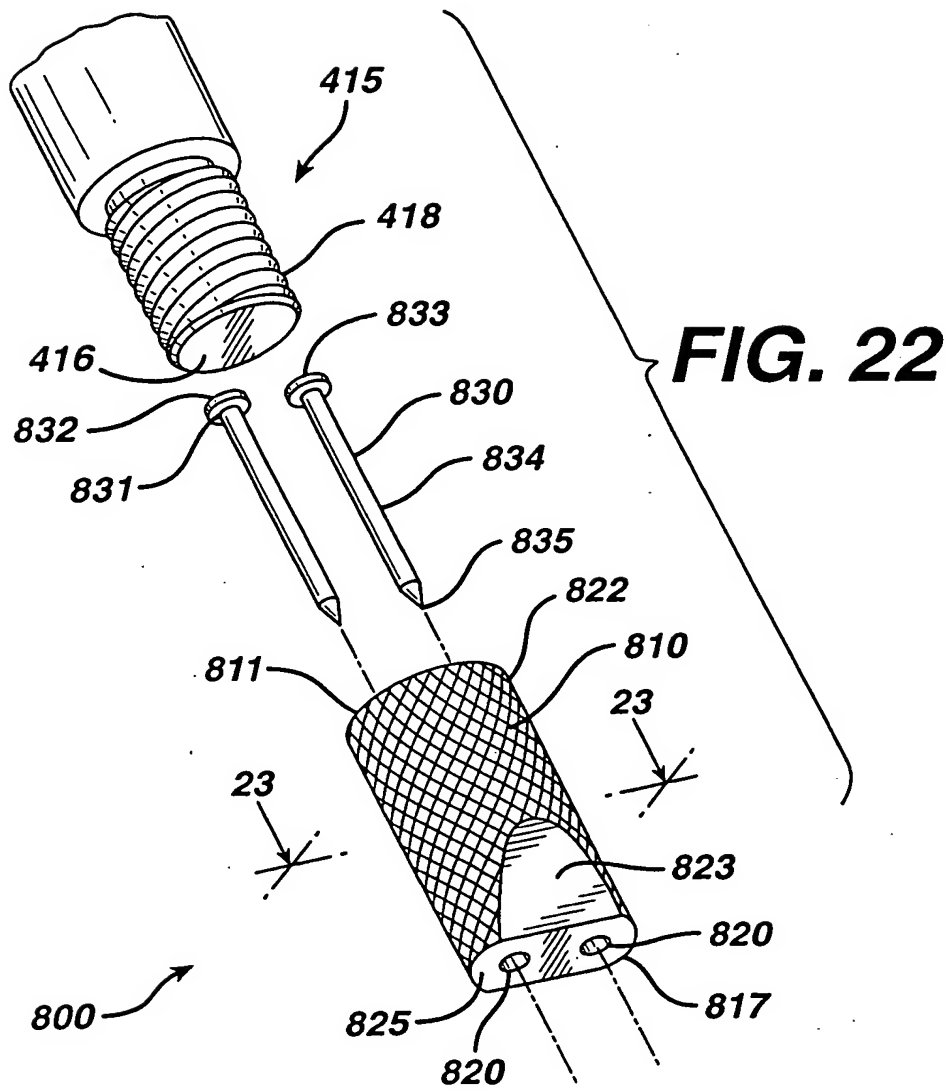
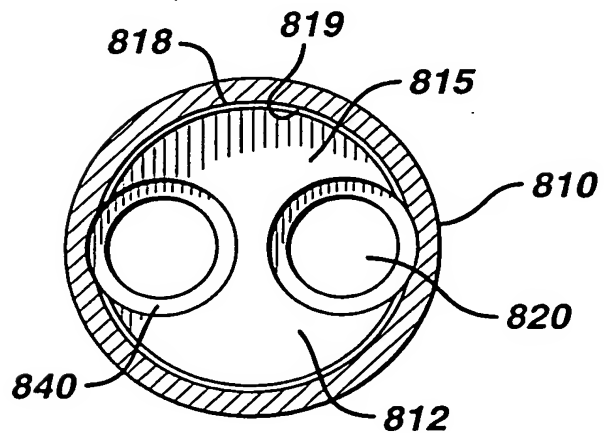
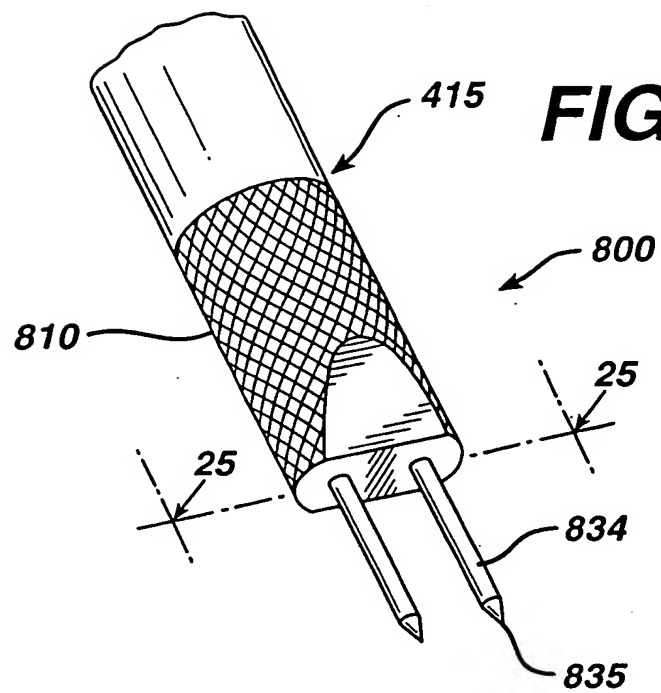
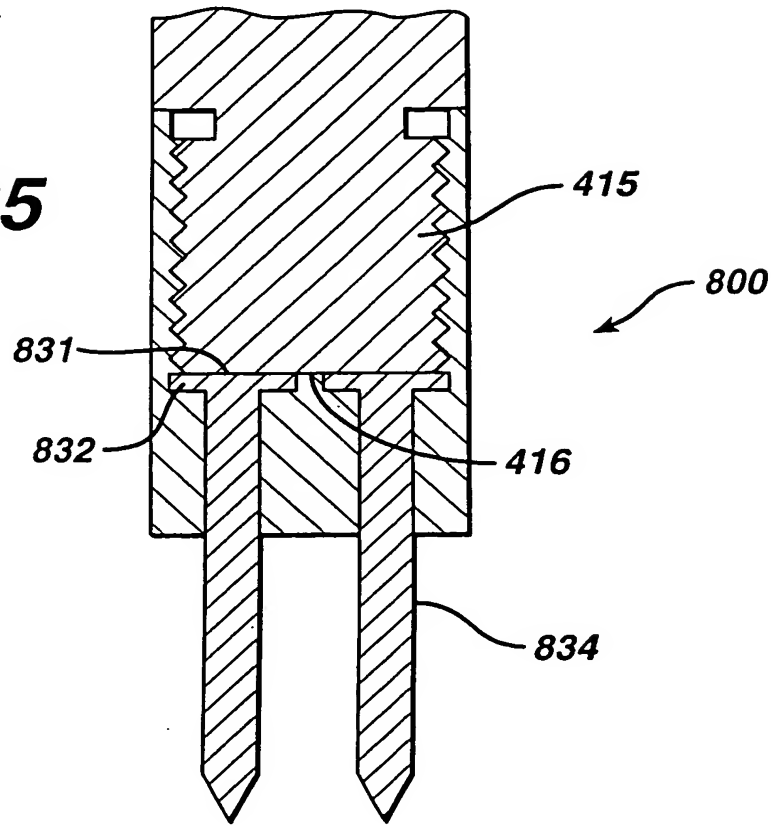
**FIG. 23**

FIG. 24**FIG. 25**

20/28

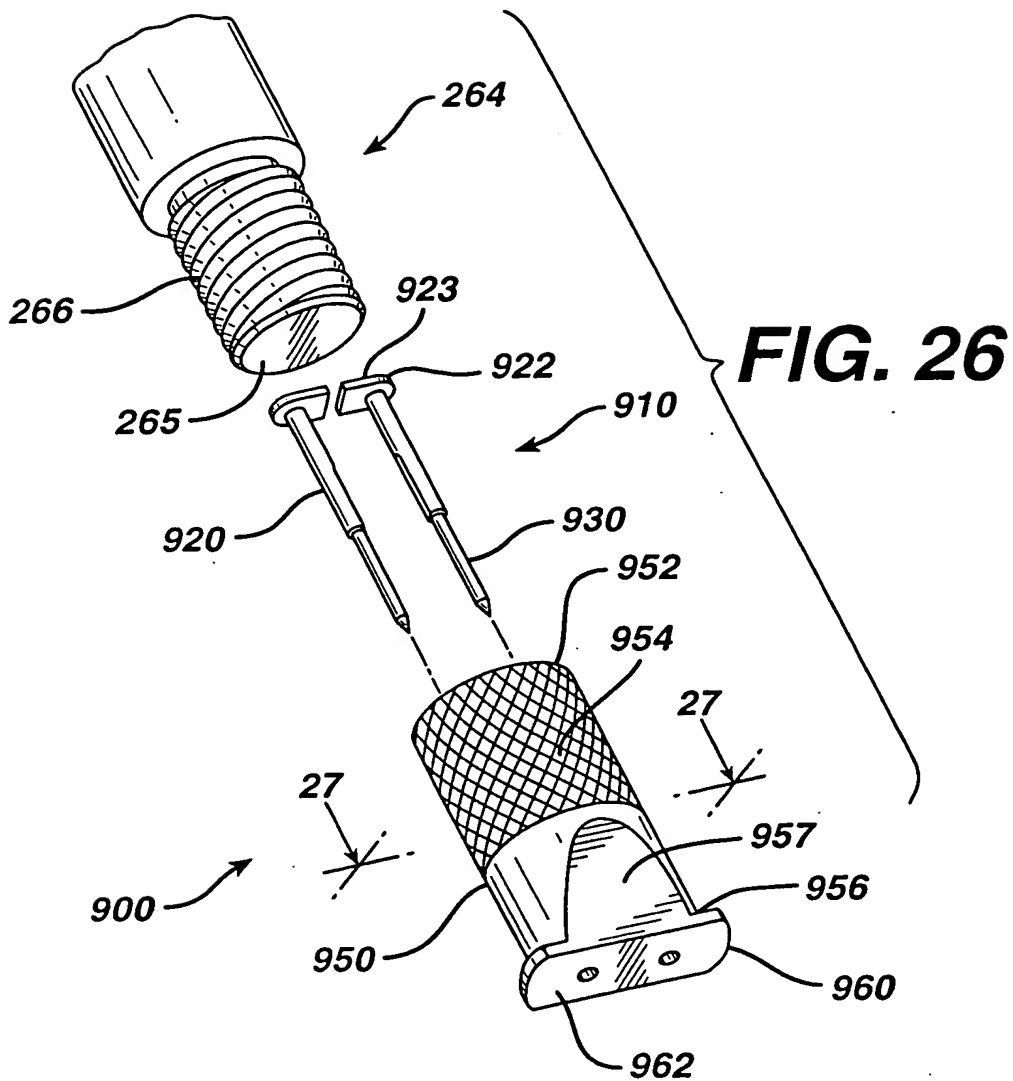
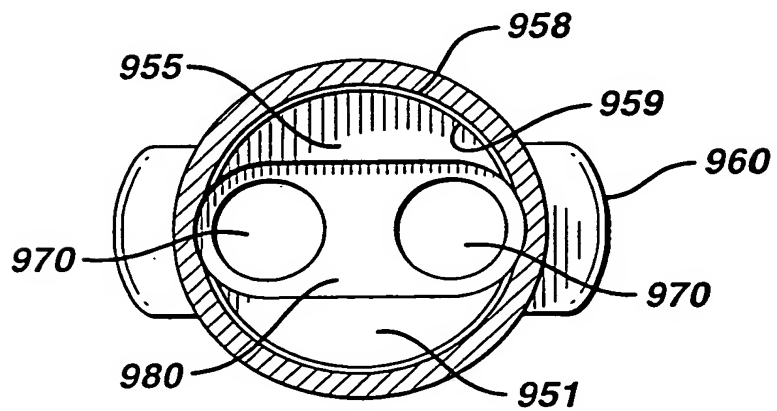


FIG. 27



21/28

FIG. 28

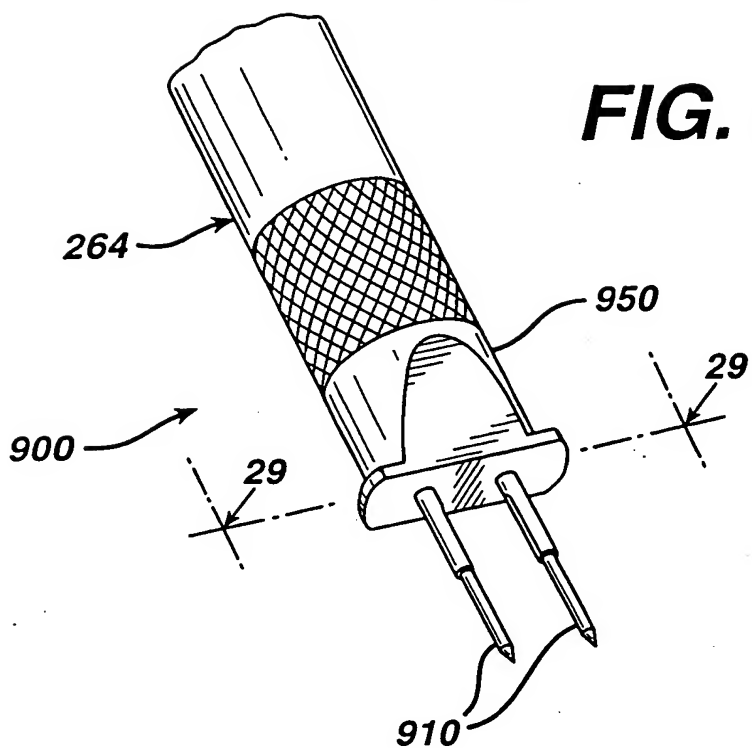


FIG. 29

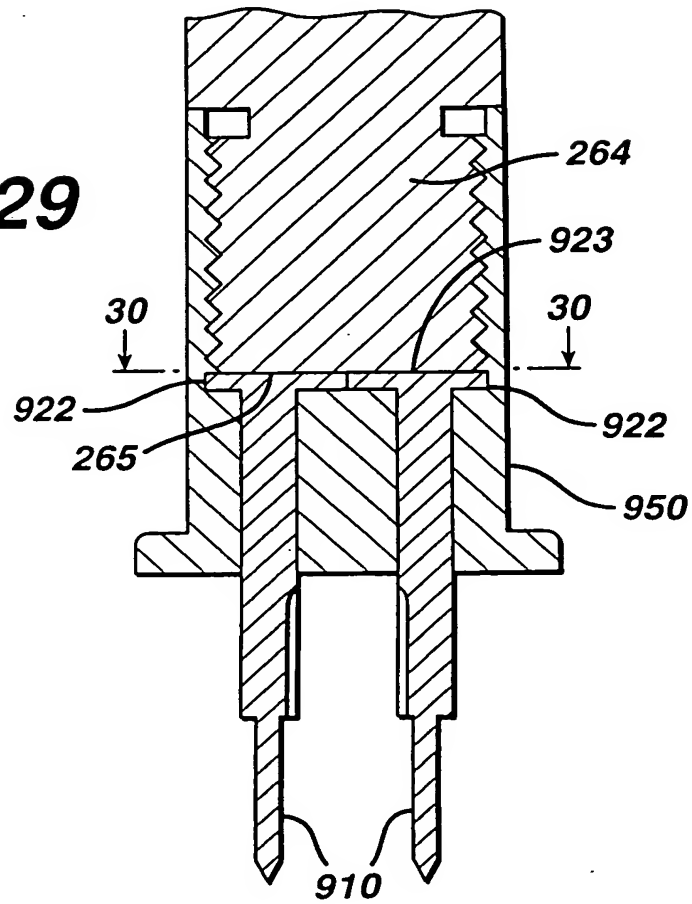


FIG. 30

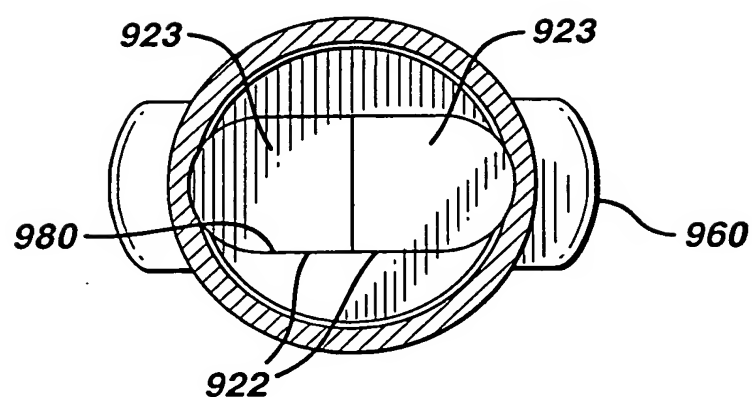


FIG. 31

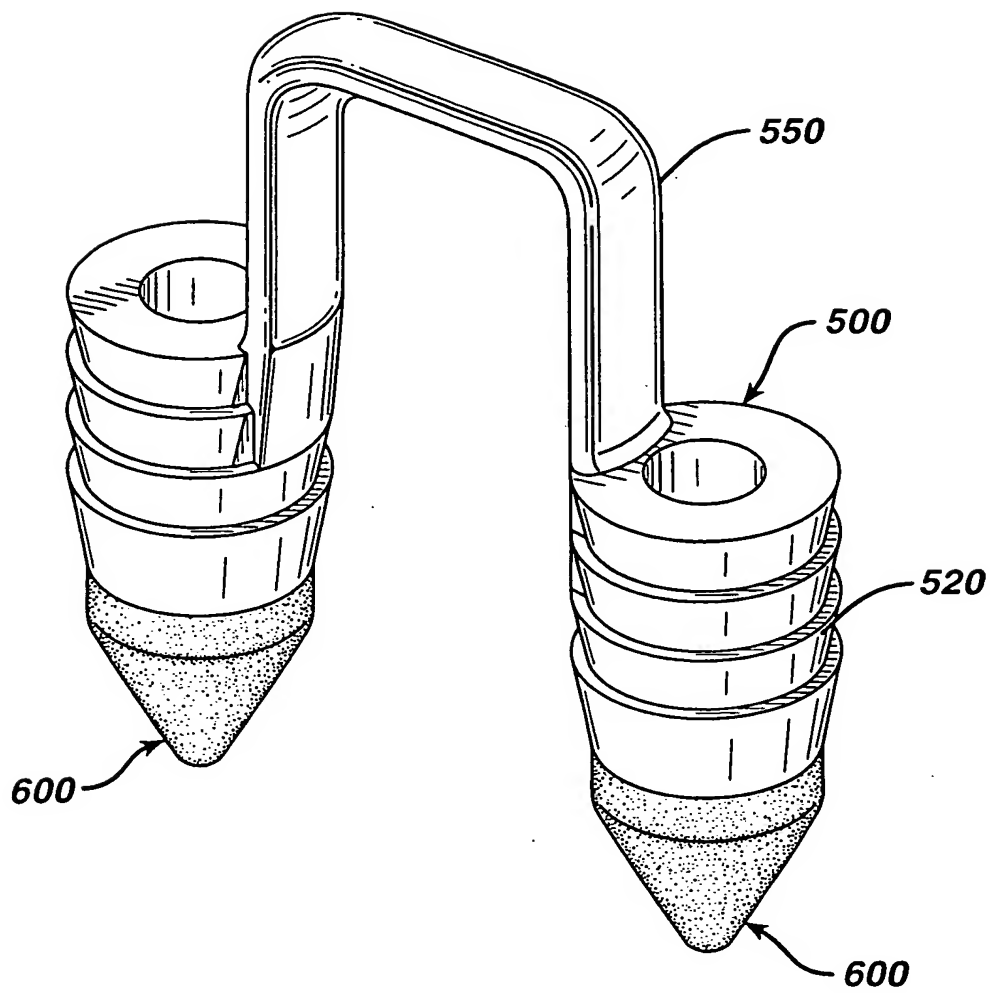


FIG. 32

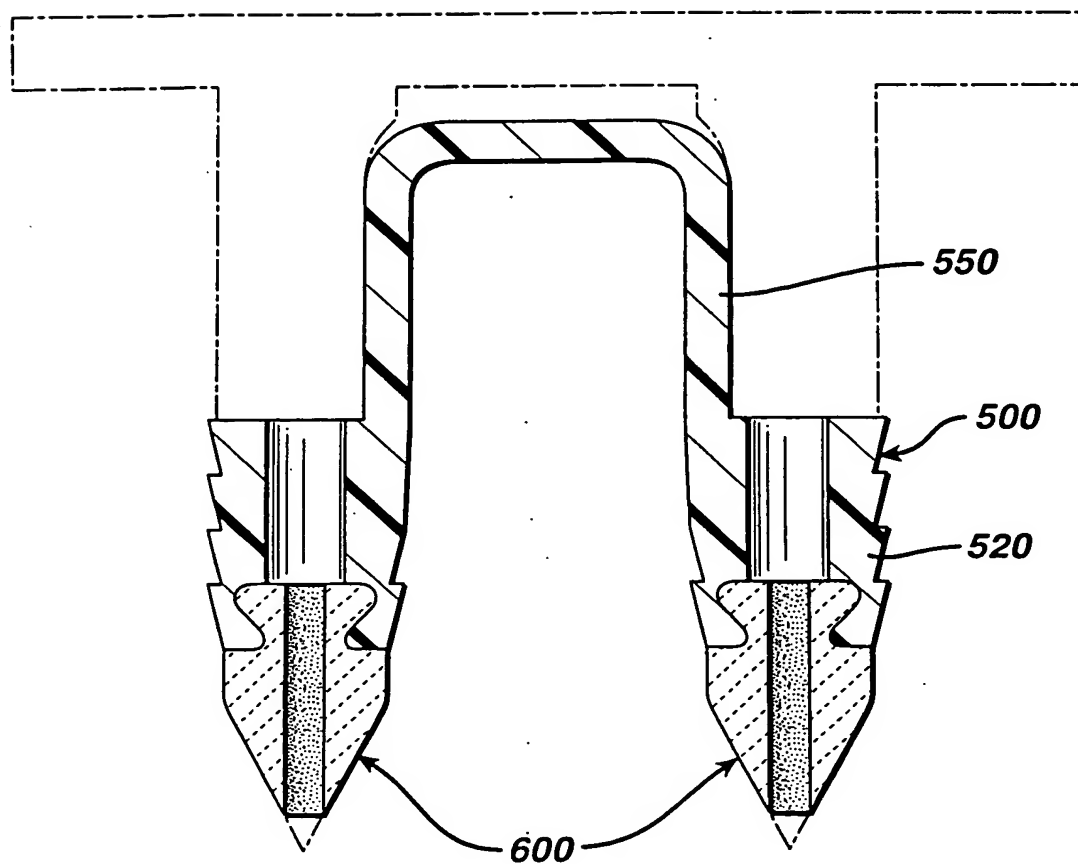


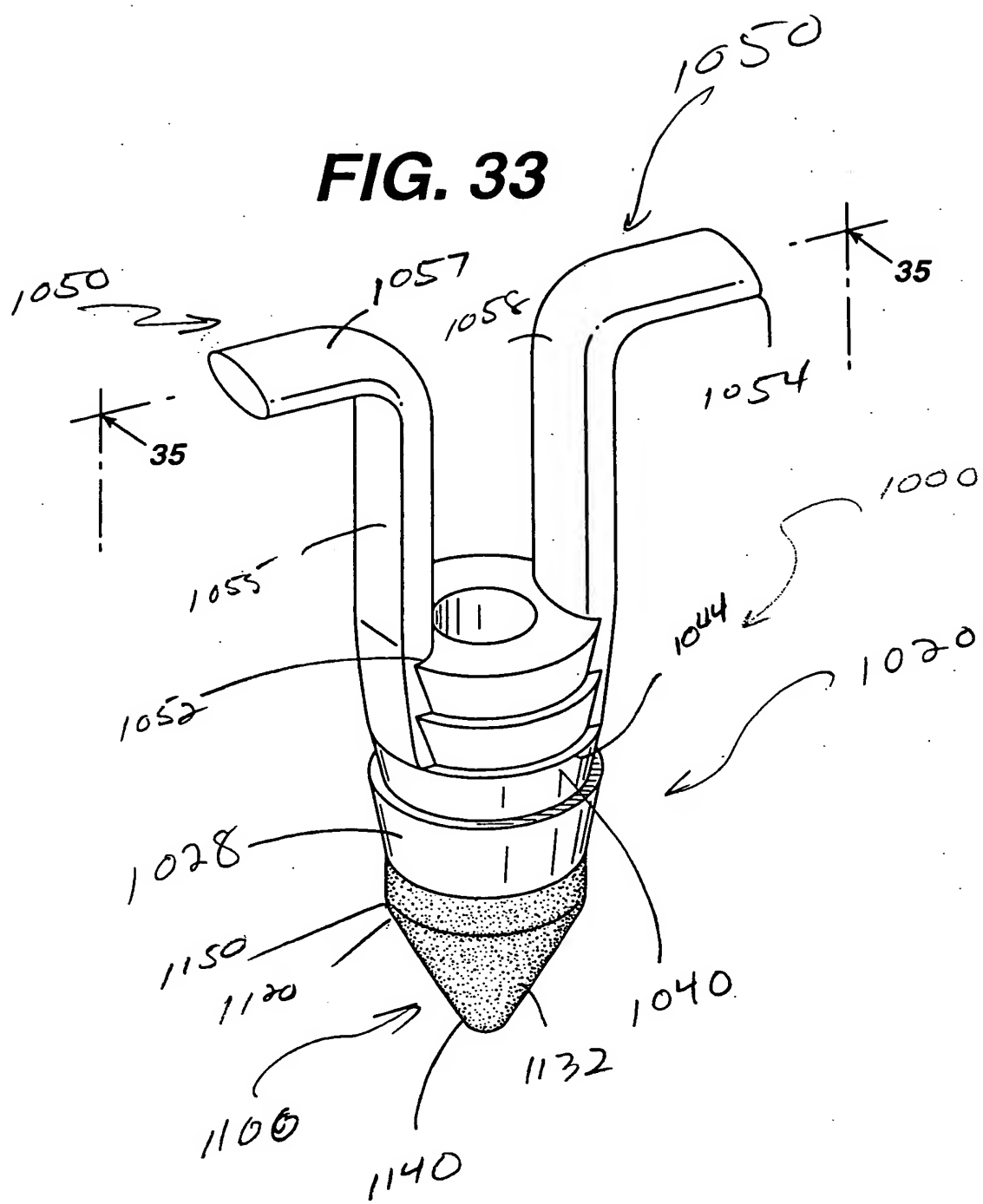
FIG. 33

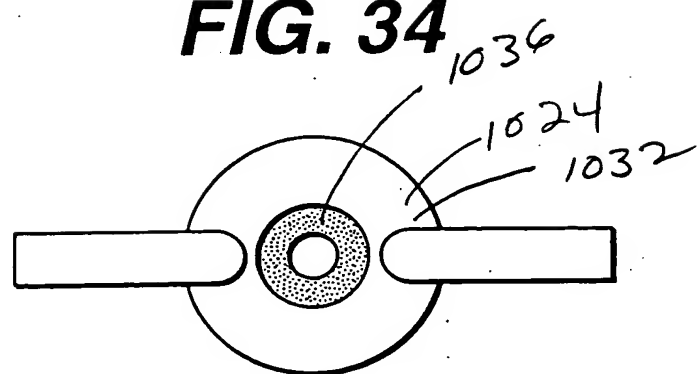
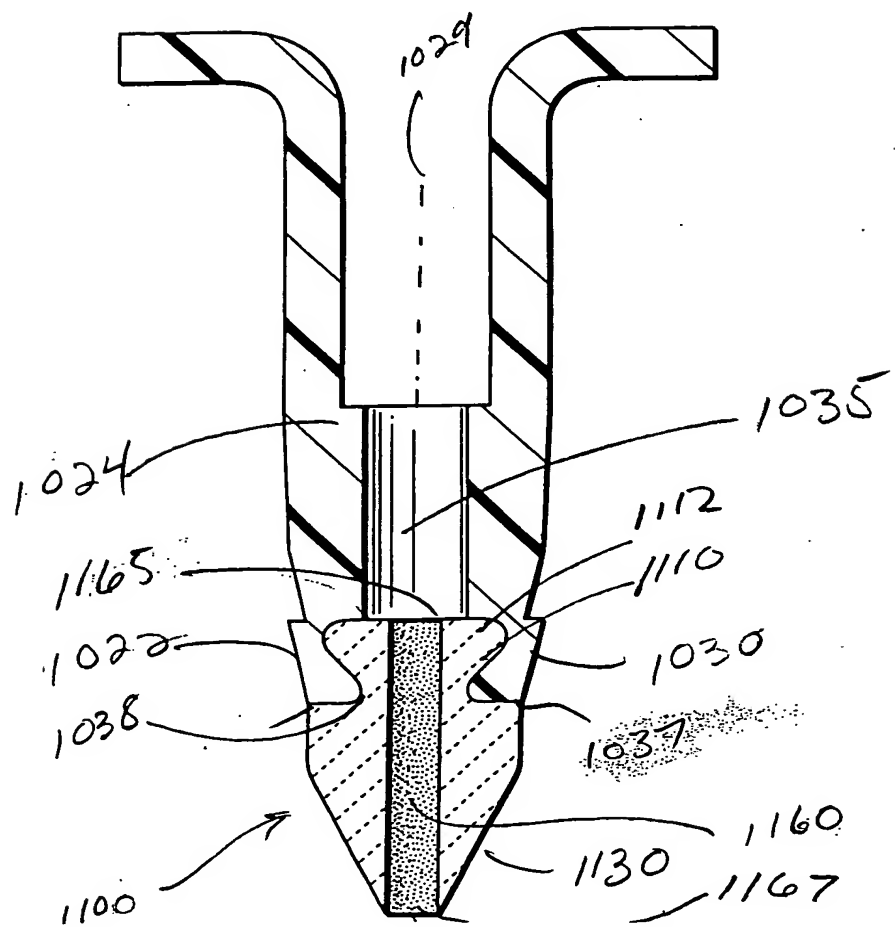
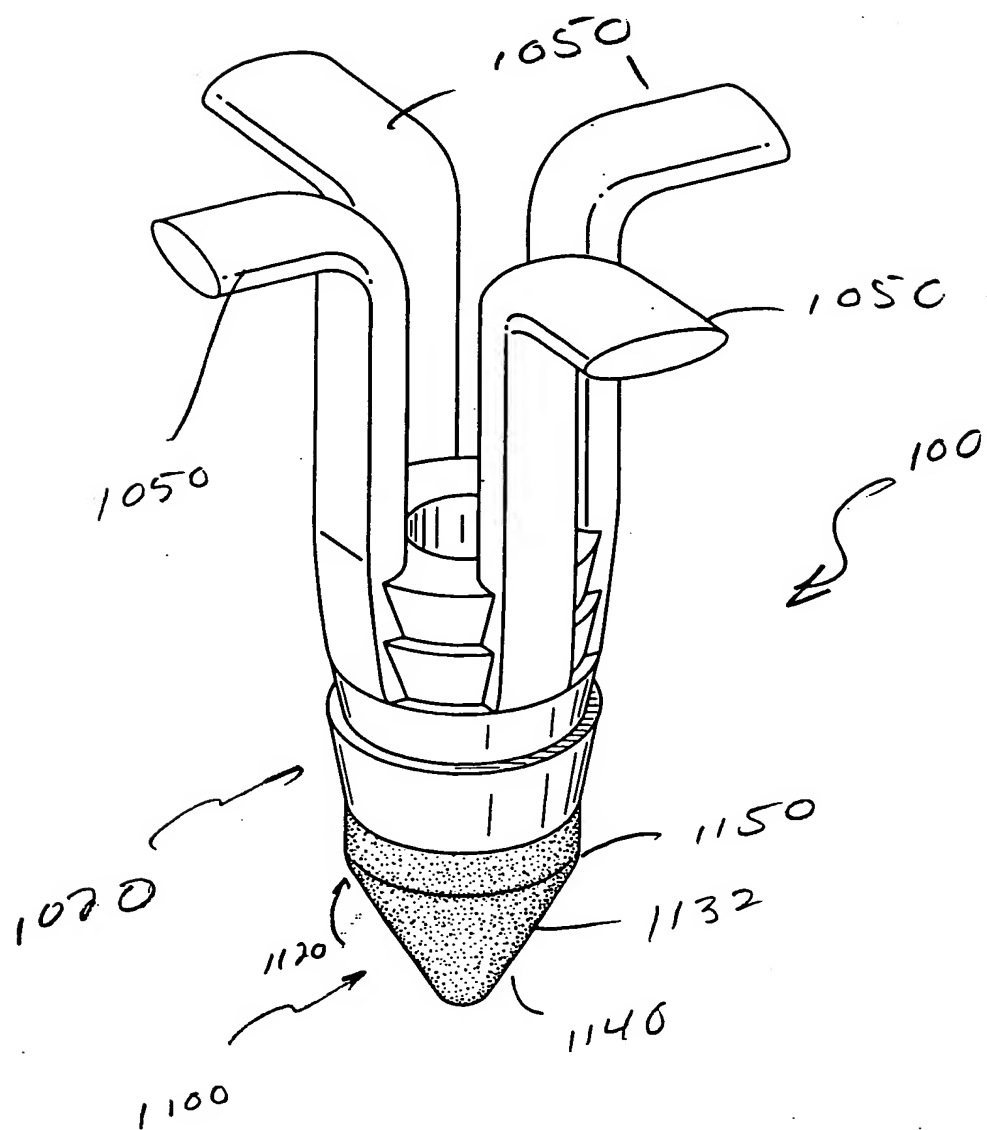
FIG. 34**FIG. 35**

FIG. 36

28/28

FIG. 37

